

Le modèle de Potts avec une ligne de défaut

Yvan Velenik

collaboration avec Sébastien Ott

Université de Genève

Le modèle de Potts, propriétés de base

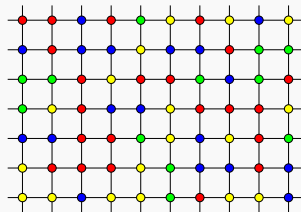
Le modèle de Potts à q états sur \mathbb{Z}^d : définition

- Configurations :

$$\Omega = \{ \sigma = (\sigma_i)_{i \in \mathbb{Z}^d} : \sigma_i \in \{1, \dots, q\} \}$$

- Énergie de $\sigma \in \Omega$ dans la boîte $\Lambda \in \mathbb{Z}^d$:

$$\mathcal{H}_\Lambda(\sigma) = \sum_{\{i,j\} \cap \Lambda \neq \emptyset} \mathbb{1}_{\{\sigma_i \neq \sigma_j\}}$$



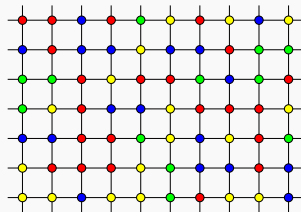
Le modèle de Potts à q états sur \mathbb{Z}^d : définition

- Configurations :

$$\Omega = \{ \sigma = (\sigma_i)_{i \in \mathbb{Z}^d} : \sigma_i \in \{1, \dots, q\} \}$$

- Énergie de $\sigma \in \Omega$ dans la boîte $\Lambda \in \mathbb{Z}^d$:

$$\mathcal{H}_\Lambda(\sigma) = \sum_{\{i,j\} \cap \Lambda \neq \emptyset} \mathbb{1}_{\{\sigma_i \neq \sigma_j\}}$$



- Mesure de Gibbs dans $\Lambda \in \mathbb{Z}^d$ avec condition au bord $\eta \in \Omega$:

$$\mu_{\Lambda, \beta}^\eta(\sigma) = \begin{cases} \frac{1}{Z_{\Lambda, \beta}^\eta} e^{-\beta \mathcal{H}_\Lambda(\sigma)} & \text{if } \sigma_i = \eta_i \ \forall i \notin \Lambda \\ 0 & \text{sinon} \end{cases}$$

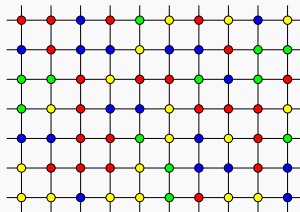
Le modèle de Potts à q états sur \mathbb{Z}^d : définition

- Configurations :

$$\Omega = \{ \sigma = (\sigma_i)_{i \in \mathbb{Z}^d} : \sigma_i \in \{1, \dots, q\} \}$$

- Énergie de $\sigma \in \Omega$ dans la boîte $\Lambda \in \mathbb{Z}^d$:

$$\mathcal{H}_\Lambda(\sigma) = \sum_{\{i,j\} \cap \Lambda \neq \emptyset} \mathbb{1}_{\{\sigma_i \neq \sigma_j\}}$$



- Mesure de Gibbs dans $\Lambda \in \mathbb{Z}^d$ avec condition au bord $\eta \in \Omega$:

$$\mu_{\Lambda, \beta}^\eta(\sigma) = \begin{cases} \frac{1}{Z_{\Lambda, \beta}^\eta} e^{-\beta \mathcal{H}_\Lambda(\sigma)} & \text{if } \sigma_i = \eta_i \forall i \notin \Lambda \\ 0 & \text{sinon} \end{cases}$$

- Mesure de Gibbs en volume infini : toute mesure de probabilité μ sur Ω satisfaisant :

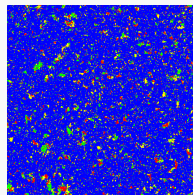
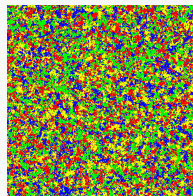
$$\mu(\cdot \mid \sigma_i = \eta_i \forall i \notin \Lambda) = \mu_{\Lambda, \beta}^\eta(\cdot)$$

pour tout $\Lambda \in \mathbb{Z}^d$ et μ -p.t. $\eta \in \Omega$.

Le modèle de Potts à q états sur \mathbb{Z}^d : transition de phase

Pour tout $d \geq 2$, il existe $\beta_c = \beta_c(d) \in (0, \infty)$ tel que

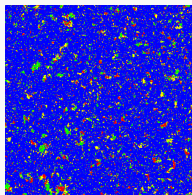
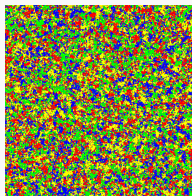
- ▶ pour tout $\beta < \beta_c$, il y a une unique mesure de Gibbs en volume infini
- ▶ pour tout $\beta > \beta_c$, il existe plusieurs mesures de Gibbs en volume infini $\mu_\beta^1, \dots, \mu_\beta^q$ exhibant un ordre à longue distance : $\inf_{i \in \mathbb{Z}^d} \mu_\beta^k(\sigma_0 = \sigma_i) > \frac{1}{q}$



Le modèle de Potts à q états sur \mathbb{Z}^d : transition de phase

Pour tout $d \geq 2$, il existe $\beta_c = \beta_c(d) \in (0, \infty)$ tel que

- ▶ pour tout $\beta < \beta_c$, il y a une unique mesure de Gibbs en volume infini
- ▶ pour tout $\beta > \beta_c$, il existe plusieurs mesures de Gibbs en volume infini $\mu_\beta^1, \dots, \mu_\beta^q$ exhibant un ordre à longue distance : $\inf_{i \in \mathbb{Z}^d} \mu_\beta^k(\sigma_0 = \sigma_i) > \frac{1}{q}$



Dorénavant, on fixe $\beta < \beta_c$ et on note μ l'unique mesure de Gibbs en volume infini

Décroissance exponentielle des corrélations

$$\left| \mu(\sigma_0 = \sigma_{ne_1}) - \frac{1}{q} \right|$$

Décroissance exponentielle des corrélations

$$\xi = - \lim_{n \rightarrow \infty} \frac{1}{n} \log \left| \mu(\sigma_0 = \sigma_{ne_1}) - \frac{1}{q} \right| > 0$$

[Duminil-Copin, Raoufi, Tassion '17]

ξ est appelée **longueur de corrélation inverse** (dans la direction \mathbf{e}_1)

Décroissance exponentielle des corrélations

$$\xi = - \lim_{n \rightarrow \infty} \frac{1}{n} \log \left| \mu(\sigma_0 = \sigma_{ne_1}) - \frac{1}{q} \right| > 0$$

[Duminil-Copin, Raoufi, Tassion '17]

ξ est appelée **longueur de corrélation inverse** (dans la direction \mathbf{e}_1)

Asymptotique d'Ornstein-Zernike

Il existe $C = C(\beta)$ telle que, lorsque $n \rightarrow \infty$,

$$\mu(\sigma_0 = \sigma_{ne_1}) = \frac{1}{q} + \frac{C}{n^{(d-1)/2}} e^{-\xi n} (1 + o(1))$$

[Campanino, Ioffe, V. '08]

Effet de la ligne de défaut sur la longueur de corrélation

Le modèle de Potts avec une ligne de défaut : définition

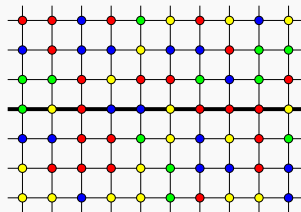
- ▶ **La ligne** : $\mathcal{L} = \{k\mathbf{e}_1 \in \mathbb{Z}^d : k \in \mathbb{Z}\}$
- ▶ **Constantes de couplage** :

$$J_{ij} = \begin{cases} 1 & \text{if } i \sim j, \{i, j\} \not\subset \mathcal{L} \\ J & \text{if } i \sim j, \{i, j\} \subset \mathcal{L} \\ 0 & \text{sinon} \end{cases}$$

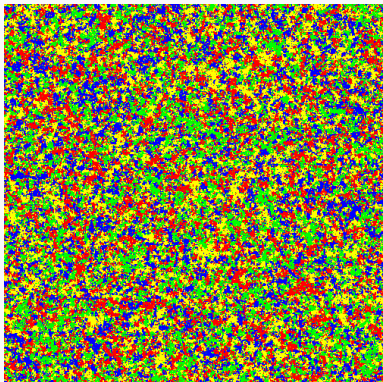
- ▶ **Énergie de $\sigma \in \Omega$ dans la boîte $\Lambda \in \mathbb{Z}^d$** :

$$\mathcal{H}_{\Lambda, J}(\sigma) = \sum_{\{i, j\} \cap \Lambda \neq \emptyset} J_{ij} \mathbb{1}_{\{\sigma_i \neq \sigma_j\}}$$

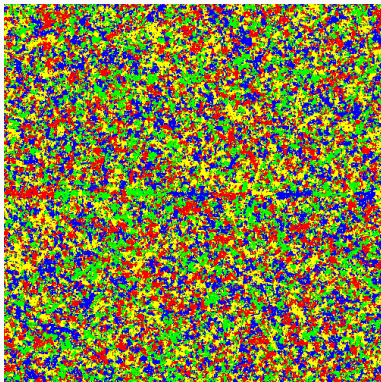
- ▶ **Mesure de Gibbs** : comme avant.



Le modèle de Potts avec une ligne de défaut : illustration



$J = 1$



$J = 3$

Le modèle de Potts avec une ligne de défaut : question centrale

Fixons $\beta < \beta_c$; soit $J \geq 0$ et notons μ_J l'unique mesure de Gibbs en volume infini.

longueur de corrélation inverse longitudinale :

$$\xi(J) = - \lim_{n \rightarrow \infty} \frac{1}{n} \log \left| \mu_J(\sigma_0 = \sigma_{n\mathbf{e}_1}) - \frac{1}{q} \right|$$

Le modèle de Potts avec une ligne de défaut : question centrale

Fixons $\beta < \beta_c$; soit $J \geq 0$ et notons μ_J l'unique mesure de Gibbs en volume infini.

longueur de corrélation inverse longitudinale :

$$\xi(J) = - \lim_{n \rightarrow \infty} \frac{1}{n} \log \left| \mu_J(\sigma_0 = \sigma_{n\mathbf{e}_1}) - \frac{1}{q} \right|$$

Question centrale

Comment $\xi(J)$ varie-t-elle lorsque J croît de 0 à $+\infty$?

Le modèle de Potts avec une ligne de défaut : question centrale

Fixons $\beta < \beta_c$; soit $J \geq 0$ et notons μ_J l'unique mesure de Gibbs en volume infini.

longueur de corrélation inverse longitudinale :

$$\xi(J) = - \lim_{n \rightarrow \infty} \frac{1}{n} \log \left| \mu_J(\sigma_0 = \sigma_{n\mathbf{e}_1}) - \frac{1}{q} \right|$$

Question centrale

Comment $\xi(J)$ varie-t-elle lorsque J croît de 0 à $+\infty$?

Cette question a été abordée pour la première fois dans le cas du modèle d'Ising sur \mathbb{Z}^2 dans [McCoy, Perk '80], sur la base de **calculs explicites**. De nombreux travaux ont suivi (même modèle, variantes diverses, calculs explicites).

Nous reconsidérons ce problème pour des **modèles de Potts généraux**, en **toute dimension** $d \geq 2$. \rightsquigarrow Calculs explicites impossibles !

Propriétés de base

Theorem (Ott, V. '17)

- ▶ $J \mapsto \xi(J)$ est *strictement positive, Lipschitz-continue et décroissante*
- ▶ $\xi(J) = \xi(1) \equiv \xi$ pour tout $J \leq 1$
- ▶ $\xi(J) \sim e^{-\beta J}$ lorsque $J \rightarrow \infty$

Propriétés de base

Theorem (Ott, V. '17)

- ▶ $J \mapsto \xi(J)$ est strictement positive, Lipschitz-continue et décroissante
- ▶ $\xi(J) = \xi(1) \equiv \xi$ pour tout $J \leq 1$
- ▶ $\xi(J) \sim e^{-\beta J}$ lorsque $J \rightarrow \infty$

Propriétés de base

Theorem (Ott, V. '17)

- ▶ $J \mapsto \xi(J)$ est strictement positive, Lipschitz-continue et décroissante
- ▶ $\xi(J) = \xi(1) \equiv \xi$ pour tout $J \leq 1$
- ▶ $\xi(J) \sim e^{-\beta J}$ lorsque $J \rightarrow \infty$

Propriétés de base

Theorem (Ott, V. '17)

- ▶ $J \mapsto \xi(J)$ est strictement positive, Lipschitz-continue et décroissante
- ▶ $\xi(J) = \xi(1) \equiv \xi$ pour tout $J \leq 1$
- ▶ $\xi(J) \sim e^{-\beta J}$ lorsque $J \rightarrow \infty$

En particulier, il existe $J_c \in [1, \infty)$ tel que

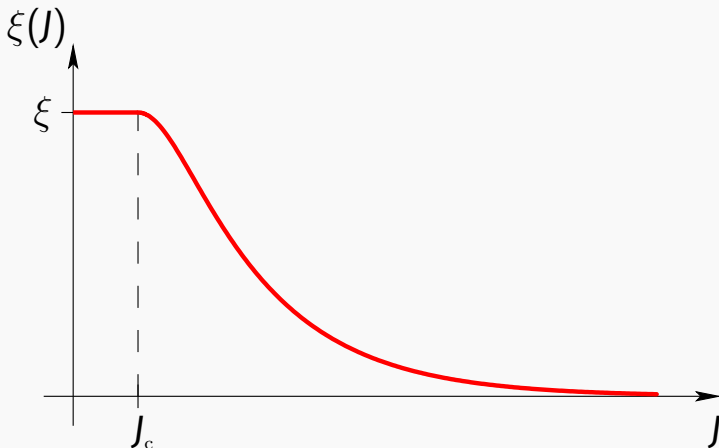
$$\xi(J) = \xi \text{ for all } J \leq J_c$$

et

$$\xi(J) < \xi \text{ for all } J > J_c$$

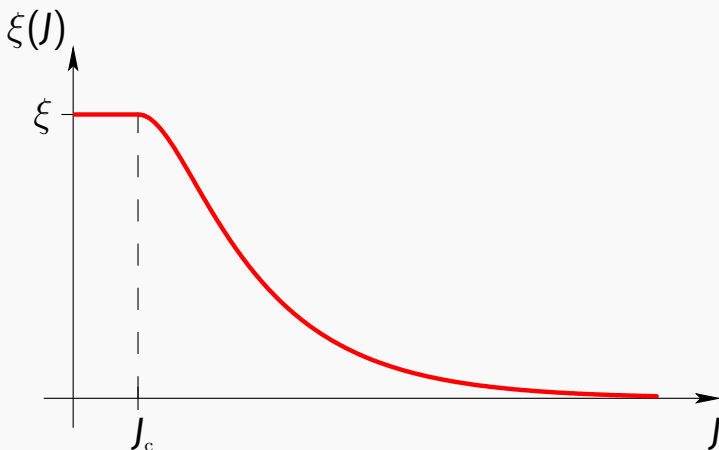
Le modèle de Potts avec une ligne de défaut : résultats principaux

Grappe typique



Le modèle de Potts avec une ligne de défaut : résultats principaux

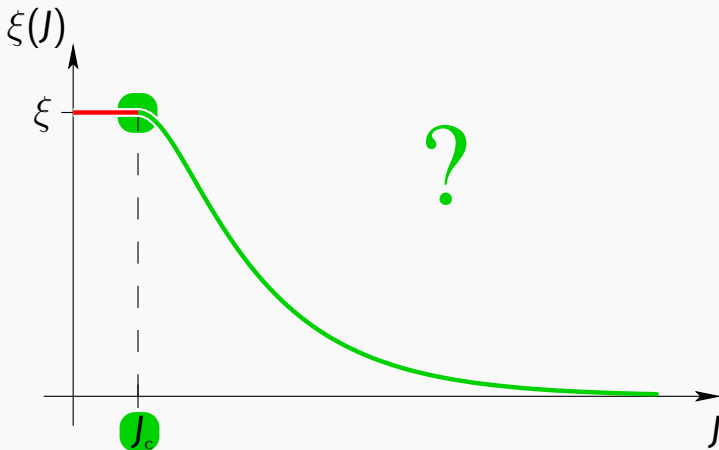
Grappe typique



En fait : correspond au résultat du calcul explicite pour le modèle d'Ising sur \mathbb{Z}^2 dans [McCoy, Perk '80]

Le modèle de Potts avec une ligne de défaut : résultats principaux

Graphe typique



En fait : correspond au résultat du calcul explicite pour le modèle d'Ising sur \mathbb{Z}^2 dans [McCoy, Perk '80]

Theorem (Ott, V. '17)

1. $J_c = 1$ lorsque $d = 2$ ou 3 , mais $J_c > 1$ lorsque $d \geq 4$
2. $J \mapsto \xi(J)$ est strictement décroissante et réelle-analytique lorsque $J > J_c$
3. Il existe des constantes $c_2^\pm, c_3^\pm > 0$ telles que, lorsque $J \downarrow J_c$,

$$c_2^-(J - J_c)^2 \leq \xi(J_c) - \xi(J) \leq c_2^+(J - J_c)^2 \quad (d = 2)$$

$$e^{-c_3^-(J - J_c)} \leq \xi(J_c) - \xi(J) \leq e^{-c_3^+(J - J_c)} \quad (d = 3)$$

4. Pour tout $J > J_c$, il existe $C = C(J, \beta)$ telle que

$$\mu(\sigma_0 = \sigma_{ne_1}) = \frac{1}{q} + C e^{-\xi(J)n} (1 + o(1))$$

Theorem (Ott, V. '17)

1. $J_c = 1$ lorsque $d = 2$ ou 3 , mais $J_c > 1$ lorsque $d \geq 4$
2. $J \mapsto \xi(J)$ est *strictement décroissante* et *réelle-analytique* lorsque $J > J_c$
3. Il existe des constantes $c_2^\pm, c_3^\pm > 0$ telles que, lorsque $J \downarrow J_c$,

$$c_2^-(J - J_c)^2 \leq \xi(J_c) - \xi(J) \leq c_2^+(J - J_c)^2 \quad (d = 2)$$

$$e^{-c_3^-(J - J_c)} \leq \xi(J_c) - \xi(J) \leq e^{-c_3^+(J - J_c)} \quad (d = 3)$$

4. Pour tout $J > J_c$, il existe $C = C(J, \beta)$ telle que

$$\mu(\sigma_0 = \sigma_{ne_1}) = \frac{1}{q} + C e^{-\xi(J)n} (1 + o(1))$$

Theorem (Ott, V. '17)

1. $J_c = 1$ lorsque $d = 2$ ou 3 , mais $J_c > 1$ lorsque $d \geq 4$
2. $J \mapsto \xi(J)$ est strictement décroissante et réelle-analytique lorsque $J > J_c$
3. Il existe des constantes $c_2^\pm, c_3^\pm > 0$ telles que, lorsque $J \downarrow J_c$,

$$c_2^-(J - J_c)^2 \leq \xi(J_c) - \xi(J) \leq c_2^+(J - J_c)^2 \quad (d = 2)$$

$$e^{-c_3^-(J - J_c)} \leq \xi(J_c) - \xi(J) \leq e^{-c_3^+(J - J_c)} \quad (d = 3)$$

4. Pour tout $J > J_c$, il existe $C = C(J, \beta)$ telle que

$$\mu(\sigma_0 = \sigma_{ne_1}) = \frac{1}{q} + C e^{-\xi(J)n} (1 + o(1))$$

Theorem (Ott, V. '17)

1. $J_c = 1$ lorsque $d = 2$ ou 3 , mais $J_c > 1$ lorsque $d \geq 4$
2. $J \mapsto \xi(J)$ est strictement décroissante et réelle-analytique lorsque $J > J_c$
3. Il existe des constantes $c_2^\pm, c_3^\pm > 0$ telles que, lorsque $J \downarrow J_c$,

$$c_2^-(J - J_c)^2 \leq \xi(J_c) - \xi(J) \leq c_2^+(J - J_c)^2 \quad (d = 2)$$

$$e^{-c_3^-(J - J_c)} \leq \xi(J_c) - \xi(J) \leq e^{-c_3^+(J - J_c)} \quad (d = 3)$$

4. Pour tout $J > J_c$, il existe $C = C(J, \beta)$ telle que

$$\mu(\sigma_0 = \sigma_{ne_1}) = \frac{1}{q} + C e^{-\xi(J)n} (1 + o(1))$$

Reformulation en termes de FK-percolation

Reformulation en termes de FK-percolation

La preuve repose sur une reformulation en termes de **FK-percolation**.

► Soient $p, p' \in (0, 1)$, $q \in [1, \infty)$. Soient $x = p/(1 - p)$ et $x' = p'/(1 - p')$.

Reformulation en termes de FK-percolation

La preuve repose sur une reformulation en termes de **FK-percolation**.

- ▶ Soient $p, p' \in (0, 1)$, $q \in [1, \infty)$. Soient $x = p/(1 - p)$ et $x' = p'/(1 - p')$.
- ▶ Soit ω une collection d'arêtes p.p.v. dans $\{-M, \dots, M\}^d$.

Reformulation en termes de FK-percolation

La preuve repose sur une reformulation en termes de **FK-percolation**.

- ▶ Soient $p, p' \in (0, 1)$, $q \in [1, \infty)$. Soient $x = p/(1 - p)$ et $x' = p'/(1 - p')$.
- ▶ Soit ω une collection d'arêtes p.p.v. dans $\{-M, \dots, M\}^d$.
- ▶ On note $|\omega| = \#$ d'arêtes dans ω
 $O_{\mathcal{L}}(\omega) = \#$ de ces arêtes incluses dans \mathcal{L} .

Reformulation en termes de FK-percolation

La preuve repose sur une reformulation en termes de **FK-percolation**.

- ▶ Soient $p, p' \in (0, 1)$, $q \in [1, \infty)$. Soient $x = p/(1 - p)$ et $x' = p'/(1 - p')$.
- ▶ Soit ω une collection d'arêtes p.p.v. dans $\{-M, \dots, M\}^d$.
- ▶ On note $|\omega| = \#$ d'arêtes dans ω
 $O_{\mathcal{L}}(\omega) = \#$ de ces arêtes incluses dans \mathcal{L} .
- ▶ On associe à ω la probabilité

$$\nu_{x, x', q}^M(\omega) \propto x^{|\omega|} \left(\frac{x'}{x}\right)^{O_{\mathcal{L}}(\omega)} q^{\mathcal{N}(\omega)}$$

où $\mathcal{N}(\omega)$ est le nombre de composantes connexes (y compris chaque sommet isolé).

Reformulation en termes de FK-percolation

La preuve repose sur une reformulation en termes de **FK-percolation**.

- ▶ Soient $p, p' \in (0, 1)$, $q \in [1, \infty)$. Soient $x = p/(1 - p)$ et $x' = p'/(1 - p')$.
- ▶ Soit ω une collection d'arêtes p.p.v. dans $\{-M, \dots, M\}^d$.
- ▶ On note $|\omega| = \#$ d'arêtes dans ω
 $O_{\mathcal{L}}(\omega) = \#$ de ces arêtes incluses dans \mathcal{L} .
- ▶ On associe à ω la probabilité

$$\nu_{x, x', q}^M(\omega) \propto x^{|\omega|} \left(\frac{x'}{x}\right)^{O_{\mathcal{L}}(\omega)} q^{\mathcal{N}(\omega)}$$

où $\mathcal{N}(\omega)$ est le nombre de composantes connexes (y compris chaque sommet isolé).

- ▶ La limite faible lorsque $M \rightarrow \infty$ existe et est notée $\nu_{x'}$ (p et q étant fixés).

Reformulation en termes de FK-percolation

Soient $p = 1 - e^{-\beta}$ et $p' = 1 - e^{-\beta J}$.

La relation standard entre la FK-percolation le modèle de Potts à q états implique que

$$\mu_J(\sigma_0 = \sigma_{n\mathbf{e}_1}) = \frac{1}{q} + \frac{q-1}{q} \nu_{X'}(0 \leftrightarrow n\mathbf{e}_1)$$

et donc, en écrivant $\xi(X') \equiv \xi(J(X'))$,

$$\xi(X') = - \lim_{n \rightarrow \infty} \frac{1}{n} \log \nu_{X'}(0 \leftrightarrow n\mathbf{e}_1)$$

Reformulation en termes de FK-percolation

Soient $p = 1 - e^{-\beta}$ et $p' = 1 - e^{-\beta J}$.

La relation standard entre la FK-percolation le modèle de Potts à q états implique que

$$\mu_J(\sigma_0 = \sigma_{ne_1}) = \frac{1}{q} + \frac{q-1}{q} \nu_{x'}(0 \leftrightarrow ne_1)$$

et donc, en écrivant $\xi(x') \equiv \xi(J(x'))$,

$$\xi(x') = - \lim_{n \rightarrow \infty} \frac{1}{n} \log \nu_{x'}(0 \leftrightarrow ne_1)$$

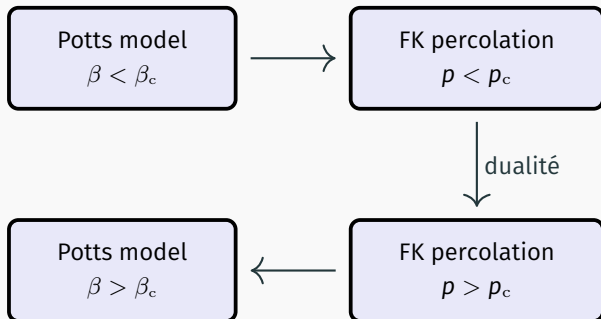
L'analyse de $\xi(x')$ dans le cas $q = 1$ a été effectuée dans [\[Friedli, Ioffe, V. '13\]](#).

L'extension à tout $q \geq 1$ est rendue difficile par la perte de l'indépendance et de plusieurs conséquences utiles, telle que l'inégalité BK, qui doivent être remplacées par des constructions appropriées exploitant les propriétés de **mélange exponentiel** de ν .

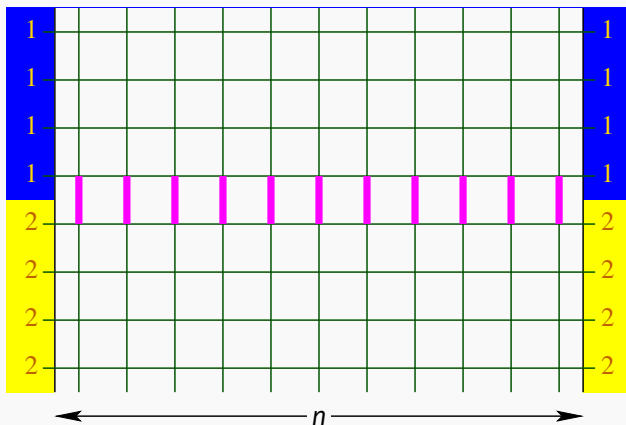
Accrochage d'interface dans le modèle de Potts sur \mathbb{Z}^2

Accrochage dans le modèle de Potts sur \mathbb{Z}^2 : dualité

Sur \mathbb{Z}^2 , l'**auto-dualité** de la FK-percolation permet de reformuler certains des résultats présentés précédemment en termes des propriétés de l'**interface** d'un modèle de Potts sur \mathbb{Z}^2 **sous la température critique**.

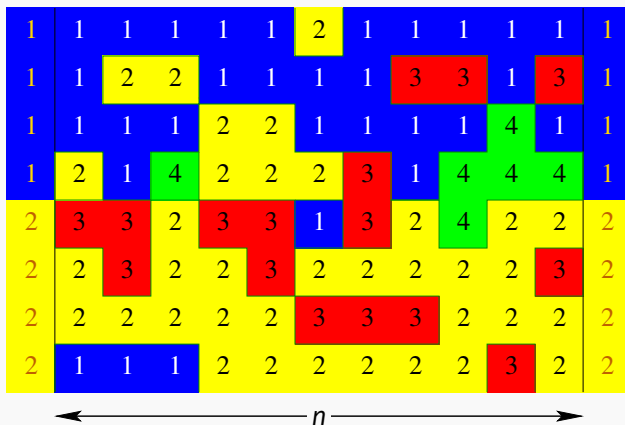


Modèle de Potts sur \mathbb{Z}^2 avec condition au bord de Dobrushin

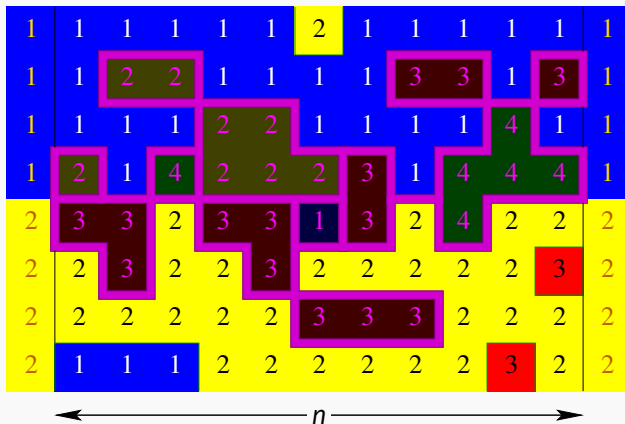


Seuls les spins p.p.v. interagissent et les constantes de couplage sont toutes égales à 1, sauf celles représentées en violet, dont la valeur est $J \geq 0$. On suppose que $\beta > \beta_c$.

Modèle de Potts sur \mathbb{Z}^2 avec condition au bord de Dobrushin



Modèle de Potts sur \mathbb{Z}^2 avec condition au bord de Dobrushin

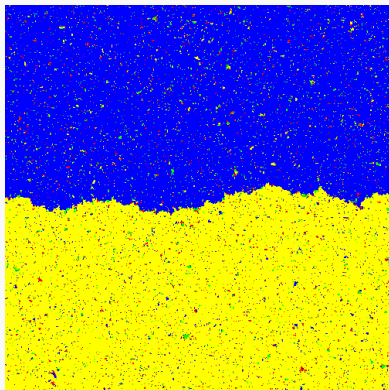


L'interface correspond à l'ensemble connexe des arêtes « frustrées » induites par la condition au bord. Converge faiblement vers un pont brownien sous scaling diffusif lorsque $J = 1$ [Campanino, Ioffe, V. '08].

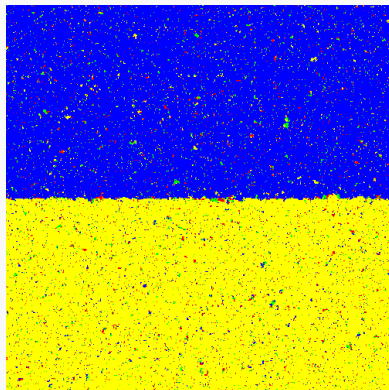
Accrochage dans le modèle de Potts sur \mathbb{Z}^2 : localisation

Theorem (Ott, V. '17)

L'interface est *localisée* (converge vers un segment de droite sous scaling diffusif) *pour tout $J < 1$* .



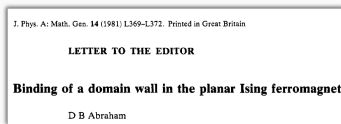
$J = 1$



$J = \frac{1}{2}$

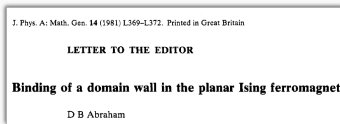
Accrochage dans le modèle de Potts sur \mathbb{Z}^2 : remarques historiques

En 1980–1981, Douglas Abraham a publié deux articles

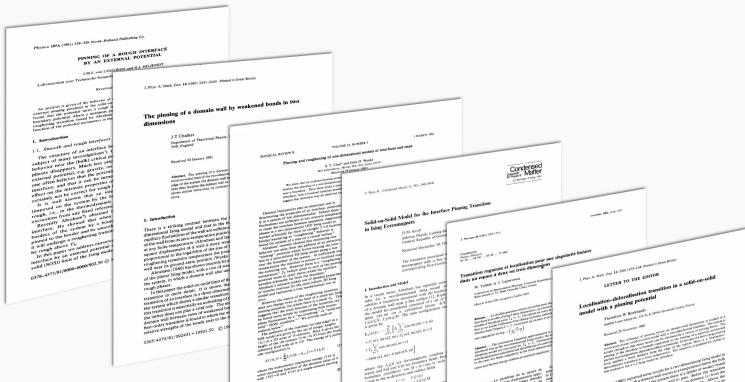


Accrochage dans le modèle de Potts sur \mathbb{Z}^2 : remarques historiques

En 1980–1981, Douglas Abraham a publié deux articles



qui ont généré une intense activité (ci-dessous, liste partielle de 1981!) :

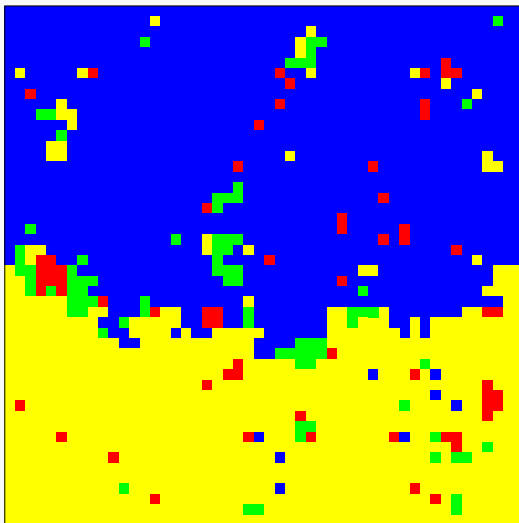


Accrochage dans le modèle de Potts sur \mathbb{Z}^2 : remarques historiques

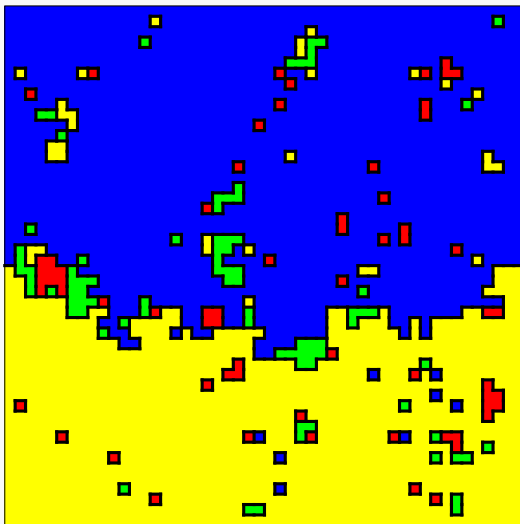
- ▶ Dans ces articles, Abraham analyse l'accrochage de l'interface (le problème de mouillage) dans le **modèle d'Ising** sur \mathbb{Z}^2 , à l'aide de **calculs explicites**.
- ▶ Les articles qui ont suivi traitent de **versions effectives** (SOS/marche aléatoire) du même problème, avec deux buts principaux : obtenir une **meilleure compréhension** des mécanismes sous-jacents, et analyser **diverses extensions** (espace de dimension supérieure, interface de dimension supérieure, potentiel d'accrochage désordonné, etc.).
- ▶ Cette intense activité se poursuit aujourd'hui. Voir le livre de Giacomin *Random Polymer Models* pour un compte-rendu récent des développements du point de vue probabiliste.

Une de nos motivations était de montrer que les méthodes actuelles de la physique statistique rigoureuse permettent finalement de **réimporter certains des résultats établis pour les modèles effectifs vers des modèles de spins sur réseau** pour lesquels il n'est pas possible d'effectuer des calculs explicites (et d'obtenir des informations supplémentaires dans les cas où c'est possible).

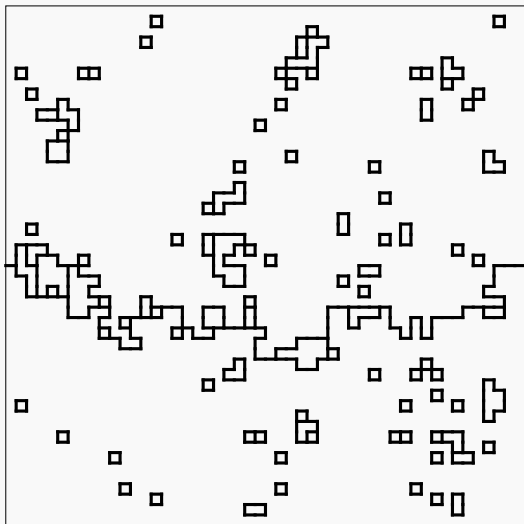
Deux approximations :



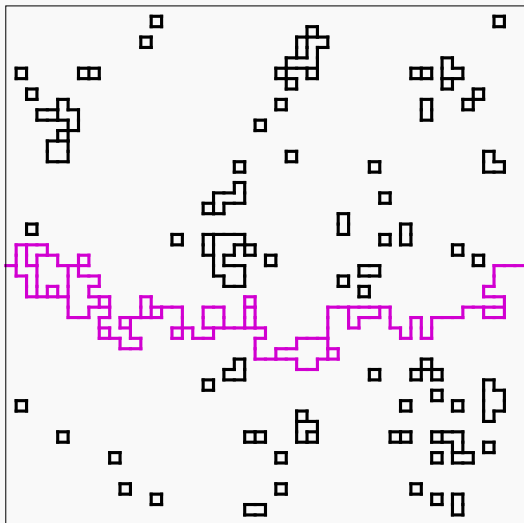
Deux approximations :



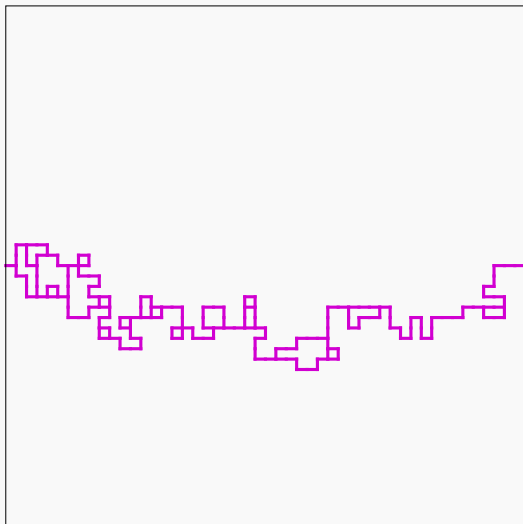
Deux approximations :



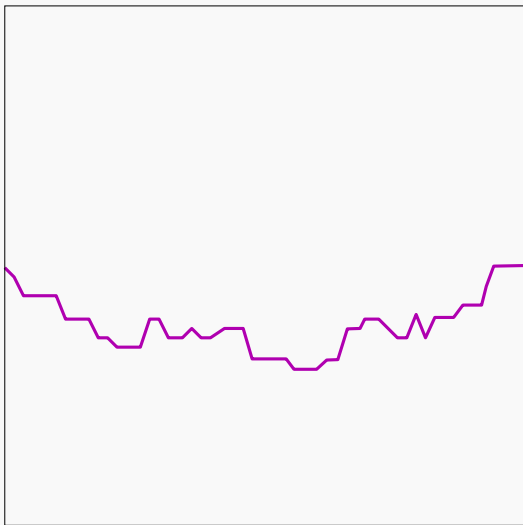
Deux approximations :



Deux approximations : ignorer les autres objets



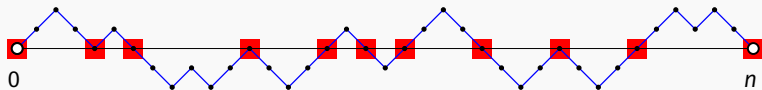
Deux approximations : ignorer les autres objets et simplifier l'interface



Ingrédients

- ▶ Soit $(X_n)_{n \geq 0}$ une marche aléatoire sur \mathbb{Z}^{d-1} .
- ▶ Soit $\mathbb{X} = (X_0 = 0, X_1, \dots, X_n)$ la trajectoire (vue comme un chemin dans \mathbb{Z}^d) correspondant aux n premiers pas.
- ▶ Étant donné $\epsilon \in \mathbb{R}$, on s'intéresse alors à l'**énergie libre** :

$$f_n(\epsilon) = \frac{1}{n} \log \mathbb{E}[e^{\epsilon |\mathbb{X} \cap \mathcal{L}|} \mid X_n = 0]$$



- ▶ L'interface est **localisée** si et seulement si $f(\epsilon) = \lim_{n \rightarrow \infty} f_n(\epsilon) > 0$.

Liens avec nos questions...

► Soit $\lambda = \log(x'/x)$. Par définition,

$$\xi - \xi(x') = \lim_{n \rightarrow \infty} \frac{1}{n} \log \frac{\nu_{x'}(0 \leftrightarrow n\mathbf{e}_1)}{\nu(0 \leftrightarrow n\mathbf{e}_1)} = \lim_{n \rightarrow \infty} \frac{1}{n} \log \frac{\nu[e^{\lambda_0 \mathcal{L}} \mid 0 \leftrightarrow n\mathbf{e}_1]}{\nu[e^{\lambda_0 \mathcal{L}}]}$$

► Soit $\lambda = \log(x'/x)$. Par définition,

$$\xi - \xi(x') = \lim_{n \rightarrow \infty} \frac{1}{n} \log \frac{\nu_{x'}(0 \leftrightarrow n\mathbf{e}_1)}{\nu(0 \leftrightarrow n\mathbf{e}_1)} = \lim_{n \rightarrow \infty} \frac{1}{n} \log \frac{\nu[e^{\lambda_0 \mathcal{L}} \mid 0 \leftrightarrow n\mathbf{e}_1]}{\nu[e^{\lambda_0 \mathcal{L}}]}$$

► Par FKG, on peut montrer que

$$\frac{1}{n} \log \frac{\nu[e^{\lambda_0 \mathcal{L}} \mid 0 \leftrightarrow n\mathbf{e}_1]}{\nu[e^{\lambda_0 \mathcal{L}}]} \leq \frac{1}{n} \log \nu[e^{\lambda |\mathbf{c}_0 \cap \mathcal{L}|} \mid 0 \leftrightarrow n\mathbf{e}_1]$$

► Soit $\lambda = \log(x'/x)$. Par définition,

$$\xi - \xi(x') = \lim_{n \rightarrow \infty} \frac{1}{n} \log \frac{\nu_{x'}(0 \leftrightarrow n\mathbf{e}_1)}{\nu(0 \leftrightarrow n\mathbf{e}_1)} = \lim_{n \rightarrow \infty} \frac{1}{n} \log \frac{\nu[e^{\lambda_0 \mathcal{L}} \mid 0 \leftrightarrow n\mathbf{e}_1]}{\nu[e^{\lambda_0 \mathcal{L}}]}$$

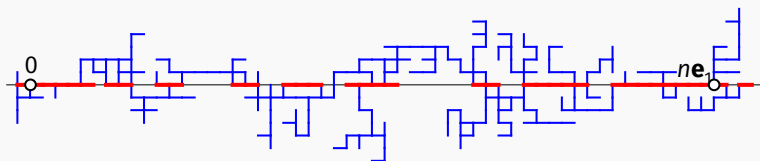
► Par FKG, on peut montrer que

$$\frac{1}{n} \log \frac{\nu[e^{\lambda_0 \mathcal{L}} \mid 0 \leftrightarrow n\mathbf{e}_1]}{\nu[e^{\lambda_0 \mathcal{L}}]} \leq \frac{1}{n} \log \nu[e^{\lambda |\mathbf{c}_0 \cap \mathcal{L}|} \mid 0 \leftrightarrow n\mathbf{e}_1]$$

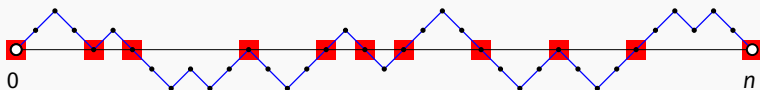
► Notez la similarité entre la borne obtenue et l'expression de l'énergie libre pour le problème d'accrochage dans les modèles effectifs :

$$f_n(\epsilon) = \frac{1}{n} \log \mathbb{E}[e^{\epsilon |\mathbb{X} \cap \mathcal{L}|} \mid X_n = 0]$$

Relation au problème d'accrochage d'une MA : borne supérieure

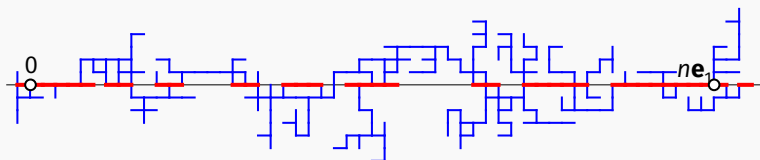


$$\frac{1}{n} \log \nu [e^{\lambda |c_0 \cap \mathcal{L}|} \mid 0 \leftrightarrow ne_1]$$

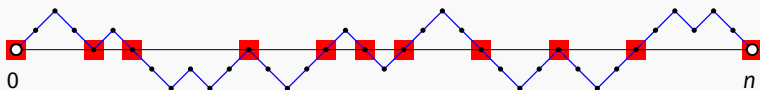


$$\frac{1}{n} \log \mathbb{E} [e^{\epsilon |X \cap \mathcal{L}|} \mid X_n = 0]$$

Relation au problème d'accrochage d'une MA : borne supérieure



$$\frac{1}{n} \log \nu [e^{\lambda |C_0 \cap \mathcal{L}|} \mid 0 \leftrightarrow ne_1]$$

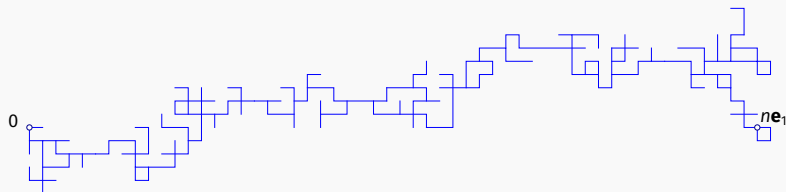


$$\frac{1}{n} \log \mathbb{E} [e^{\epsilon |X \cap \mathcal{L}|} \mid X_n = 0]$$

L'analogie peut être rendue plus précise en utilisant une **représentation en marche aléatoire effective** pour C_0 . Cette dernière permet d'utiliser certains des arguments développés pour l'accrochage d'une marche aléatoire.

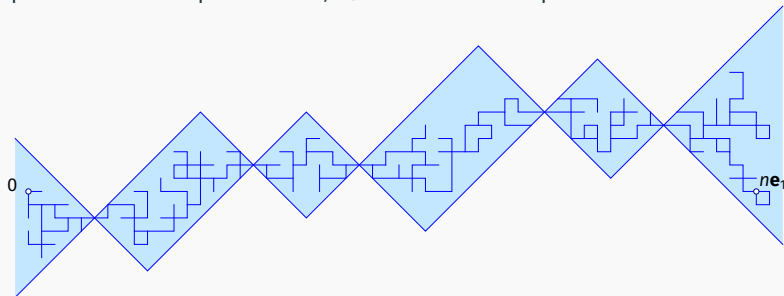
Relation au problème d'accrochage d'une MA : marche effective

Soit $p < p_c$ et $n \in \mathbb{N}$. Alors, avec une $\nu(\cdot | 0 \leftrightarrow ne_1)$ -probabilité exponentiellement proche de 1, \mathbf{C}_0 admet la décomposition suivante :



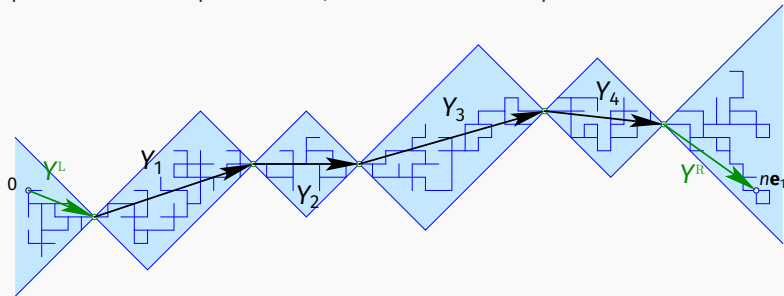
Relation au problème d'accrochage d'une MA : marche effective

Soit $p < p_c$ et $n \in \mathbb{N}$. Alors, avec une $\nu(\cdot | 0 \leftrightarrow ne_1)$ -probabilité exponentiellement proche de 1, \mathbf{C}_0 admet la décomposition suivante :



Relation au problème d'accrochage d'une MA : marche effective

Soit $p < p_c$ et $n \in \mathbb{N}$. Alors, avec une $\nu(\cdot | 0 \leftrightarrow n\mathbf{e}_1)$ -probabilité exponentiellement proche de 1, \mathbf{C}_0 admet la décomposition suivante :

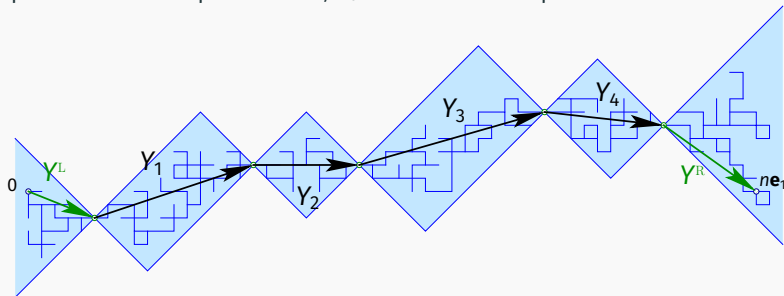


$$\{0 \leftrightarrow n\mathbf{e}_1\} = \{Y^L + Y_1 + \cdots + Y_N + Y^R = n\mathbf{e}_1\},$$

où $(Y_k)_{k \geq 1}$ est une marche aléatoire sur \mathbb{Z}^d de loi P , et Y^L, Y^R sont des vecteurs aléatoires indépendants avec queues exponentielles.

Relation au problème d'accrochage d'une MA : marche effective

Soit $p < p_c$ et $n \in \mathbb{N}$. Alors, avec une $\nu(\cdot | 0 \leftrightarrow n\mathbf{e}_1)$ -probabilité exponentiellement proche de 1, \mathbf{C}_0 admet la décomposition suivante :



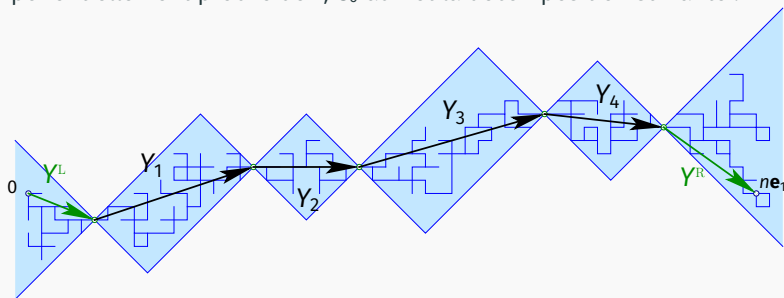
$$\{0 \leftrightarrow n\mathbf{e}_1\} = \{Y^L + Y_1 + \cdots + Y_N + Y^R = n\mathbf{e}_1\},$$

où $(Y_k)_{k \geq 1}$ est une marche aléatoire sur \mathbb{Z}^d de loi P , et Y^L, Y^R sont des vecteurs aléatoires indépendants avec queues exponentielles.

Ce résultat repose sur la représentation en « marche aléatoire » de [Campanino, Ioffe, V. '08]; l'indépendance des incréments est obtenue en agrégant aléatoirement ceux de ce processus de façon appropriée.

Relation au problème d'accrochage d'une MA : marche effective

Soit $p < p_c$ et $n \in \mathbb{N}$. Alors, avec une $\nu(\cdot | 0 \leftrightarrow ne_1)$ -probabilité exponentiellement proche de 1, \mathbf{C}_0 admet la décomposition suivante :



Écrivons $Y_k = (Y_k^{\parallel}, Y_k^{\perp}) \in \mathbb{Z} \times \mathbb{Z}^{d-1}$.

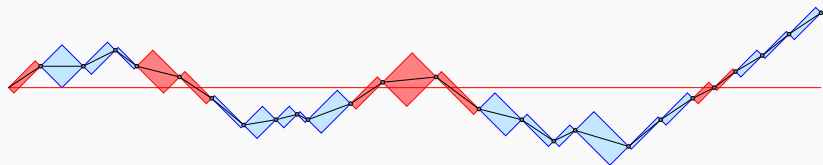
Propriétés de la marche aléatoire effective Y :

- ▶ $P(Y_1^{\parallel} \geq 1) = 1$;
- ▶ $P(\|Y_1\| > t) \leq e^{-\nu t}$ pour un $\nu = \nu(p) > 0$;
- ▶ pour tout $z^{\perp} \in \mathbb{Z}^{d-1}$, $P(Y_1^{\perp} = z^{\perp}) = P(Y_1^{\perp} = -z^{\perp})$.

Relation au problème d'accrochage d'une MA : marche effective

Comme on l'a vu

$$\xi - \xi(x') \leq \lim_{n \rightarrow \infty} \frac{1}{n} \log \nu [e^{\lambda |c_0 \cap \mathcal{L}|} \mid 0 \leftrightarrow n e_1]$$



Nous avons essentiellement **réduit le problème** (la borne sup en tout cas) à celui de l'**accrochage d'une marche aléatoire** !

Une analogie directe avec l'accrochage d'une marche aléatoire n'est **possible que pour la borne supérieure.**

Problèmes avec la borne inférieure :

- ▶ interaction entre \mathbf{C}_0 et les autres amas
- ▶ interaction entre les autres amas et la ligne \mathcal{L}

↔ l'interaction effective entre \mathbf{C}_0 et \mathcal{L} n'est pas purement attractive, même lorsque $J > 1$

↔ requiert une approche différente (changement de mesure et argument énergie/entropie)

Problèmes ouverts et extensions

Problèmes ouverts

- ▶ Comportement de $\xi(J)$ dans le voisinage de J_c lorsque $d \geq 4$.
- ▶ Asymptotique fine de la fonction à 2-point lorsque $J \leq J_c$ (et $J \neq 1$).
- ▶ Limite d'échelle de l'interface du modèle de Potts sur \mathbb{Z}^2 lorsque $J > J_c = 1$.

Problèmes ouverts

- ▶ Comportement de $\xi(J)$ dans le voisinage de J_c lorsque $d \geq 4$.
 - ▶ Asymptotique fine de la fonction à 2-point lorsque $J \leq J_c$ (et $J \neq 1$).
 - ▶ Limite d'échelle de l'interface du modèle de Potts sur \mathbb{Z}^2 lorsque $J > J_c = 1$.
-

Quelques extensions (travail en cours)

- ▶ Défaut situé le long du bord du système (\rightsquigarrow mouillage lorsque $d = 2$).
- ▶ Défaut de dimension $d' \in (1, d)$: un ordre à longue distance le long du défaut est possible même lorsque le reste du système est désordonné.
- ▶ Constantes de couplage (ferromagnétiques) aléatoires (quenched) le long du défaut.

Merci pour votre attention !